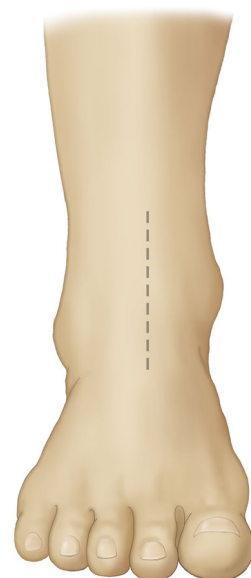
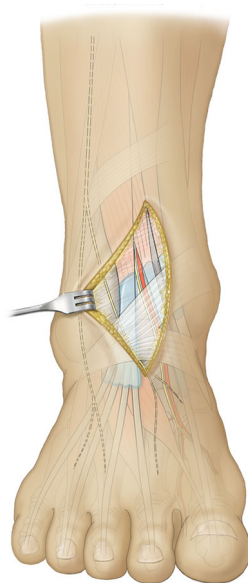


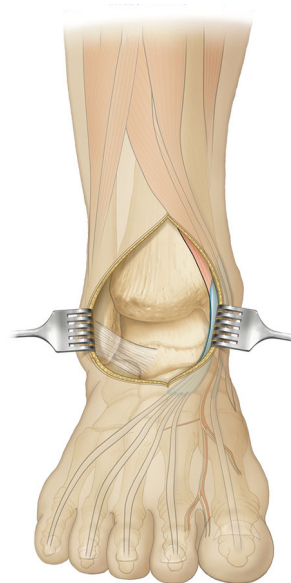
taa00.tif



taa01-incision.tif



taa01A.tif



taa02.tif



taa03.tif



taa04.tif



taa05.tif



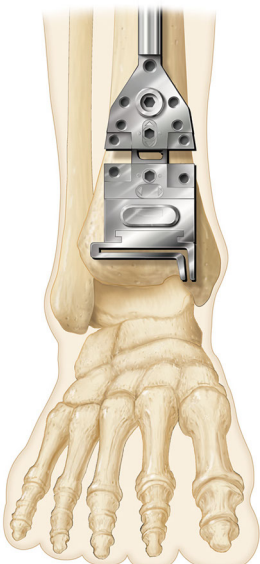
taa06.tif



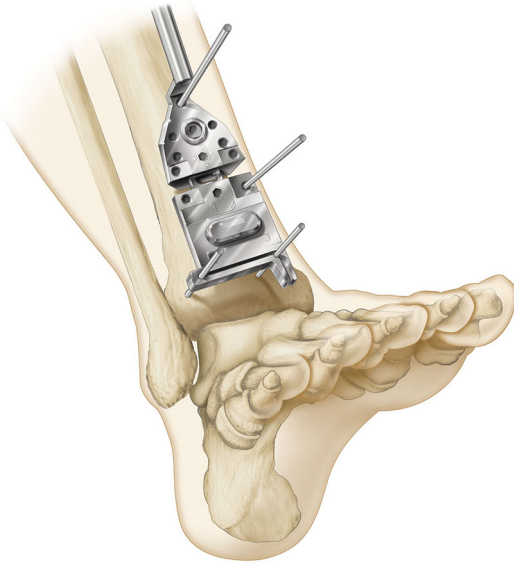
taa07.tif



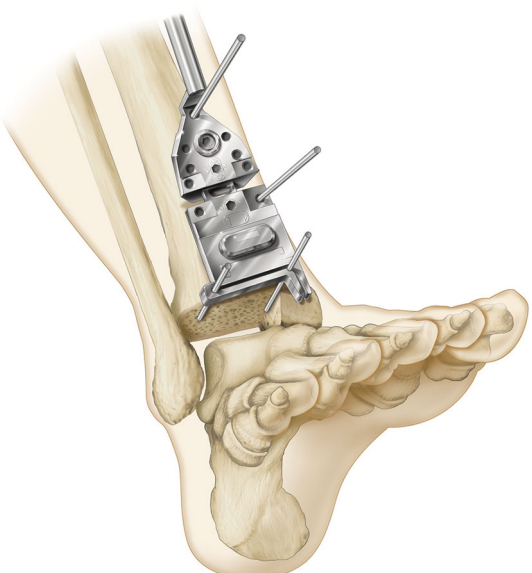
taa08.tif



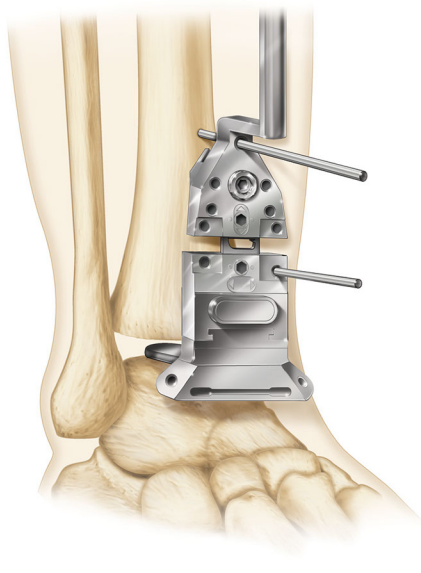
taa09.tif



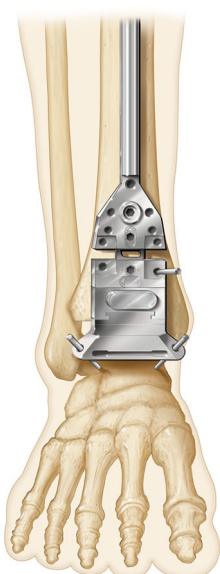
taa10.tif



taa11.tif



taa12.tif



taa13.tif



taa14.tif



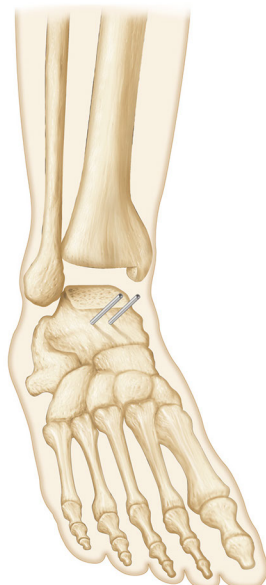
taa15.tif



taa16.tif



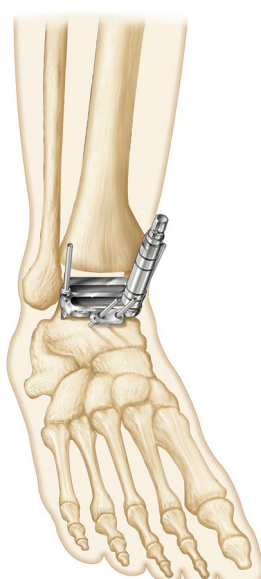
taa17.tif



taa18.tif



taa19.tif



taa20.tif



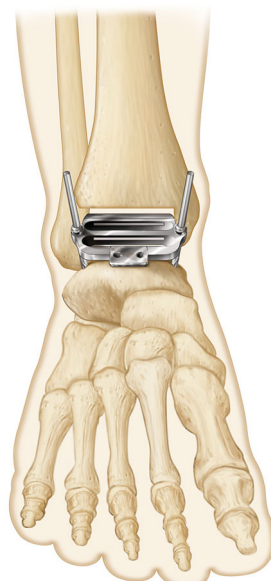
taa21.tif



taa22.tif



taa22B.tif



taa23.tif



taa24.tif



taa25.tif



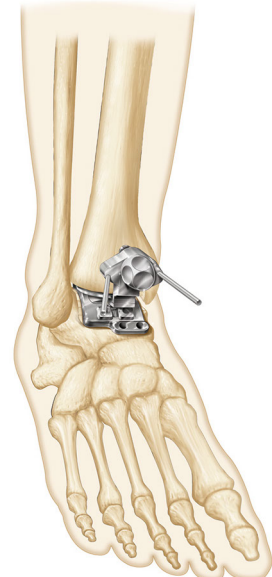
taa26.tif



taa27.tif



taa28.tif



taa29.tif



taa31.tif



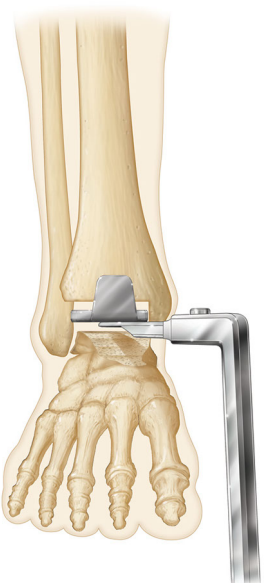
taa32.tif



taa33.tif



taa35.tif



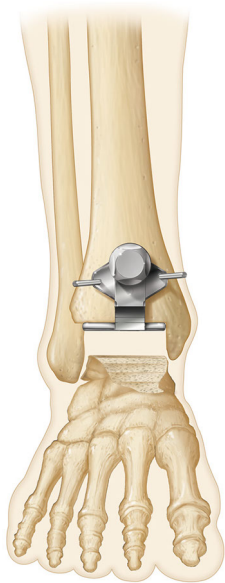
taa36.tif



taa37.tif

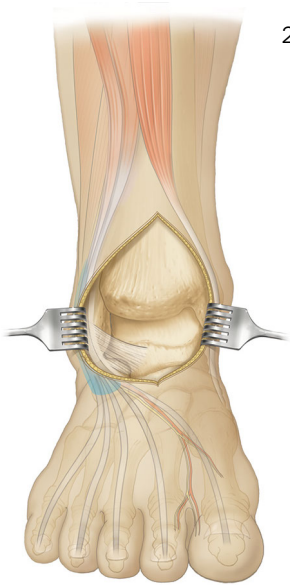


taa38.tif



taa39.tif

2016 05 31 ankles
C Roche



taa02rev1.tif



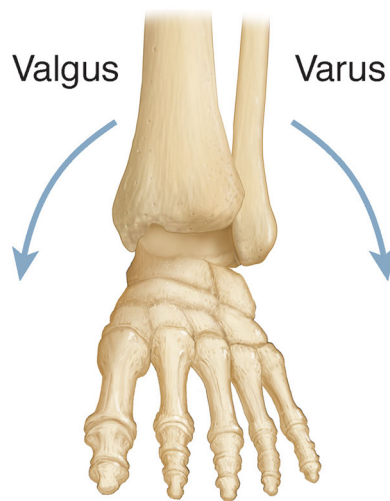
taa15rev1.tif



taa40A.tif



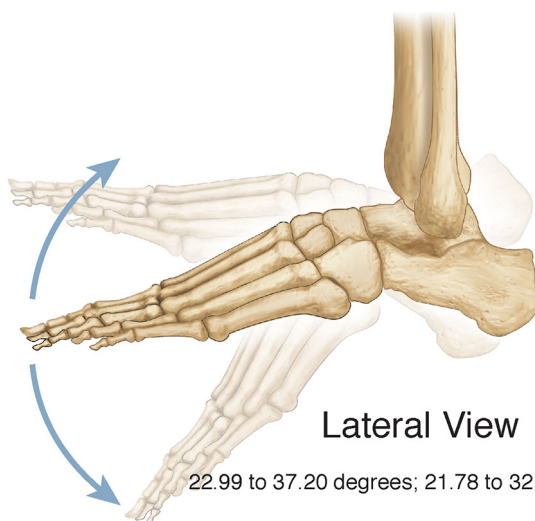
taa40B.tif



Anterior View

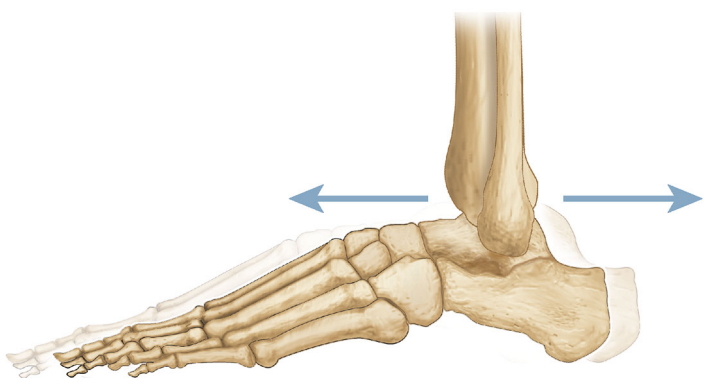
vrta01.tif

Dorsiflexion Plantarflexion



vrta02.tif

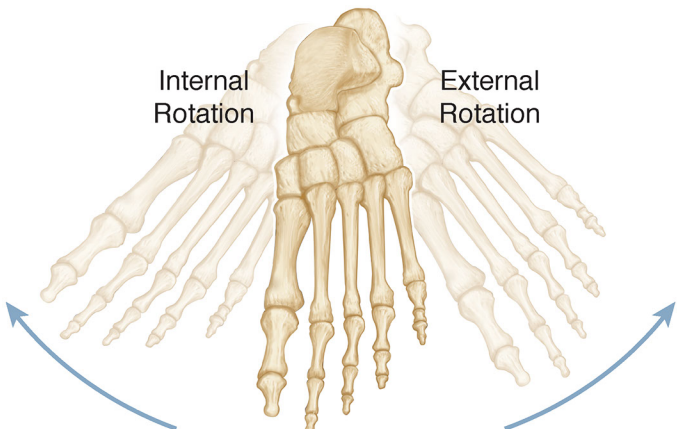
Translation



Lateral View

1.8mm to 2.21mm; 0.52mm to 2.54mm

vrta04.tif



Superior View

8.92 to 10.37 degrees; 11.30 to 13.06 degrees

vrta03.tif

2017 01 30 ankles revised
Matt Hamilton



taa03_rev1.tif



taa04_rev1.tif



taa05_rev1.tif



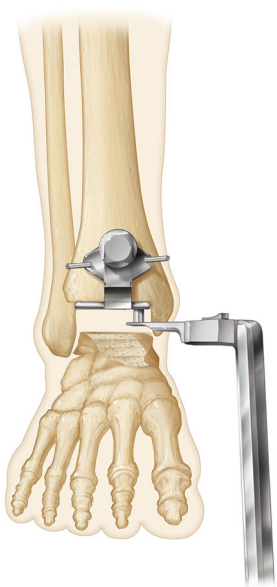
taa06_rev1.tif



taa32_rev1.tif



taa33_rev1.tif



taa35_rev1.tif



taa36_rev1.tif



taa37_rev1.tif

2017 06 13 Total Ankle Arthroplasty
Matt Hamilton Steve Norton



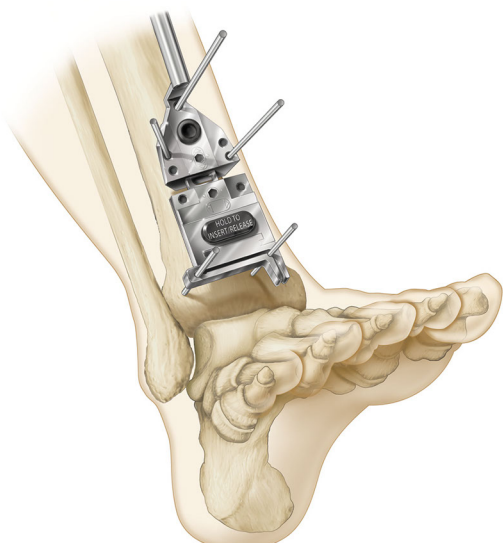
taa03_rev2.tif



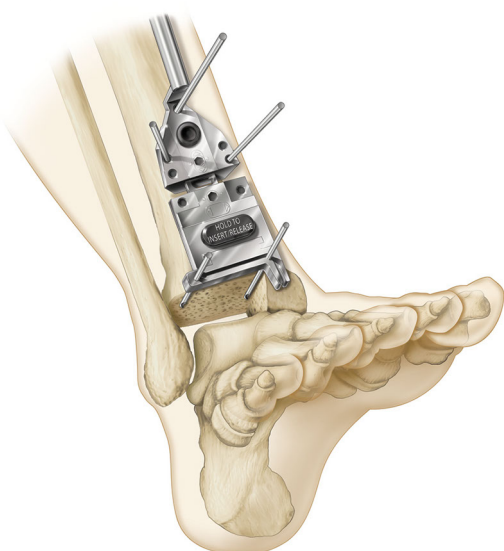
taa06_rev2.tif



taa09_rev1.tif



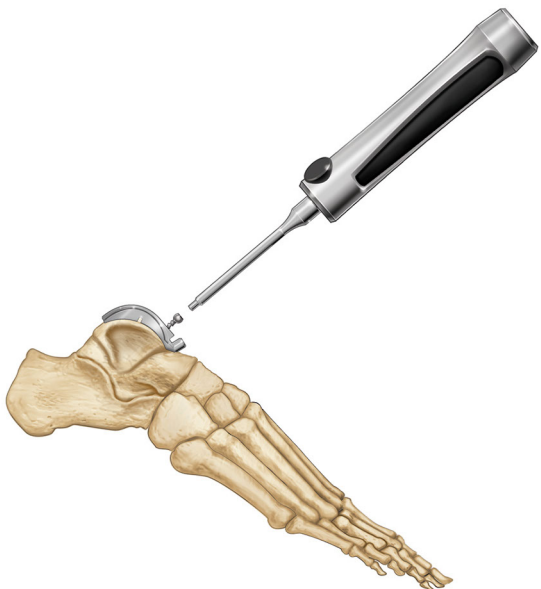
taa10_rev1.tif



taa11_rev1.tif



taaupdat01.tif



taaupdat02.tif



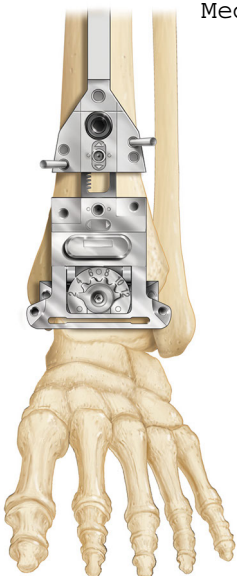
taaupdat03.tif



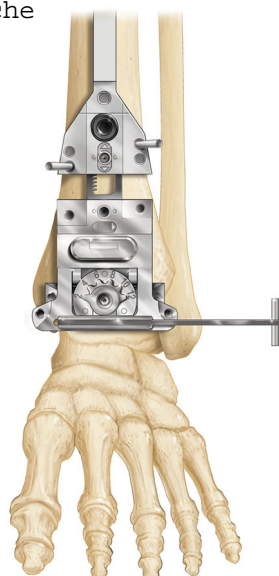
taaupdat04.tif

2018 11 14 Equinoxe Primary/Reverse Operative Technique

Medhut Alnadi, Nancy Walsh, Chris Roche



AdjusCutBlokInsrt.tif



AngelWing.tif



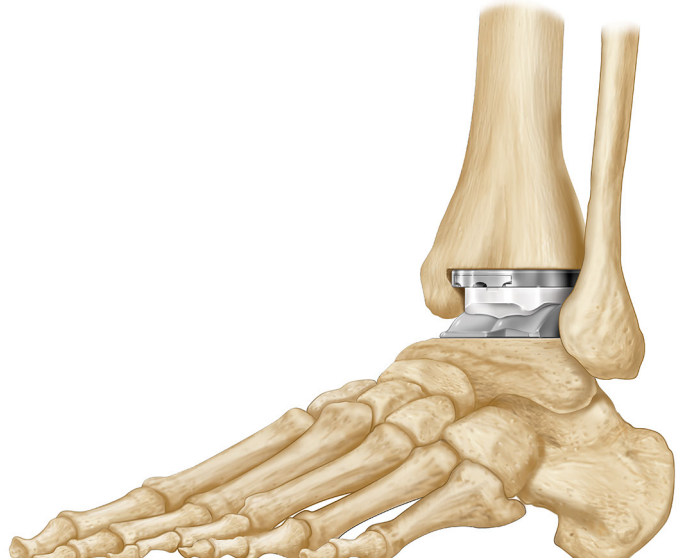
AntViewCoupleBlocGuide.tif



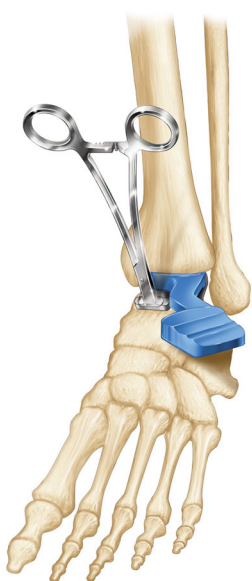
AntViewPointers.tif



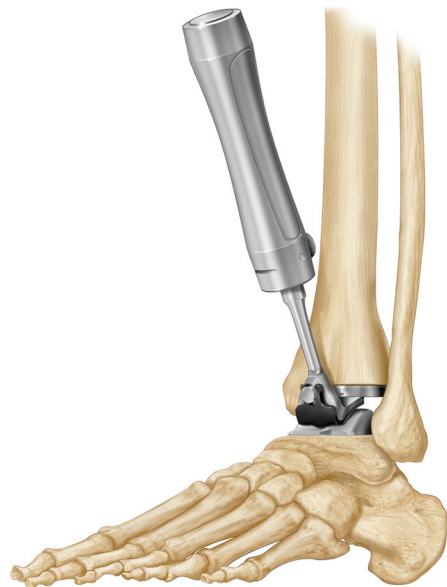
coringDrilltrial.tif



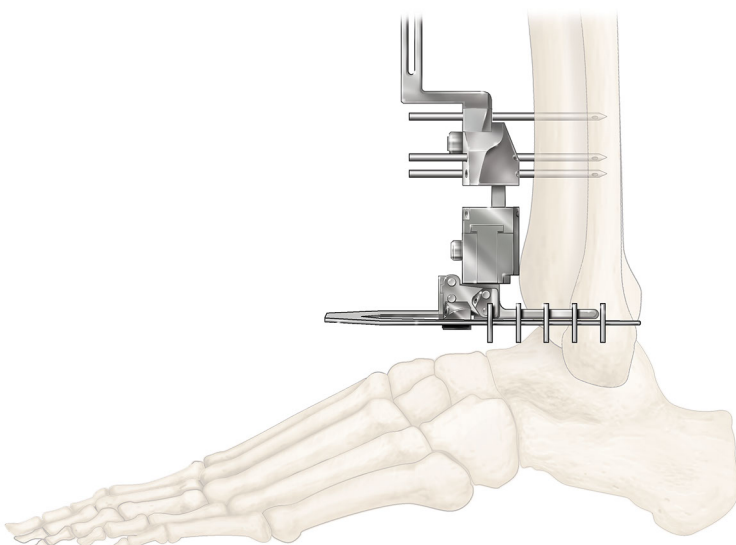
FinalImplants.tif



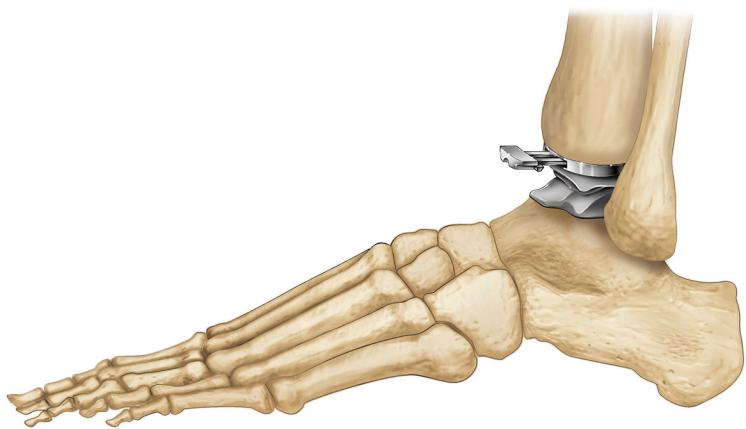
GapChekScissor.tif



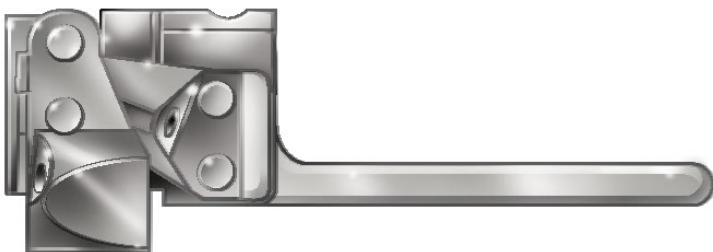
ImpacTalar.tif



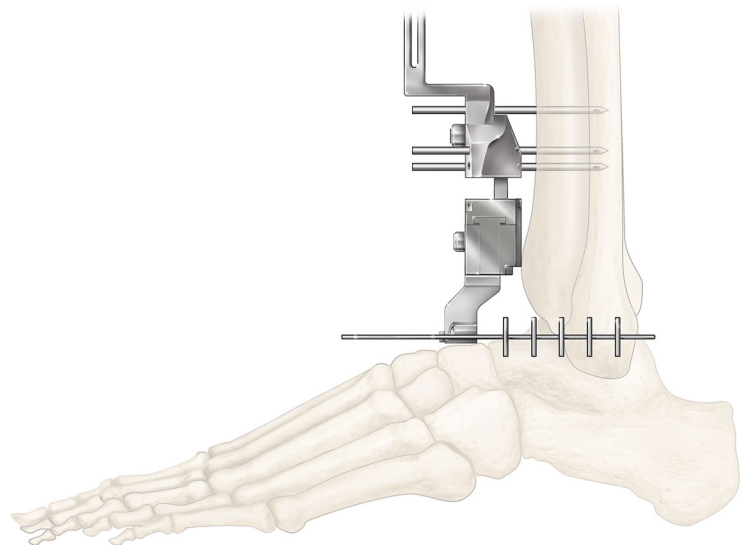
INCORECTLatViewAngel.tif



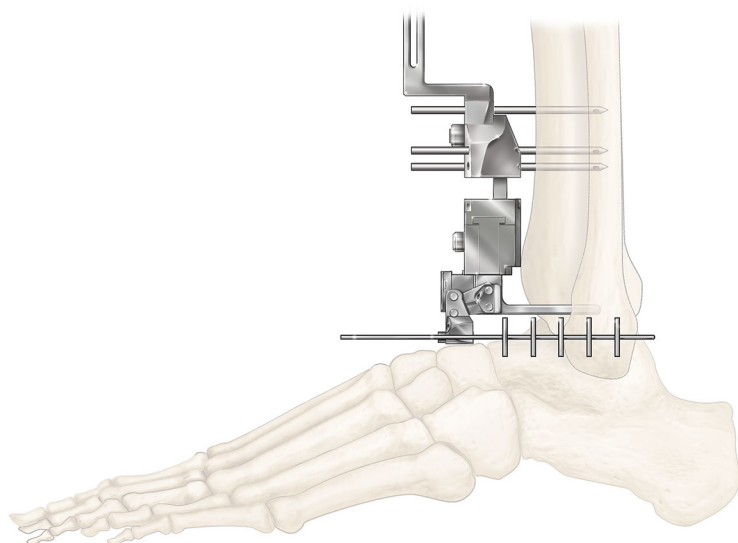
insertg_lockg_clip.tif



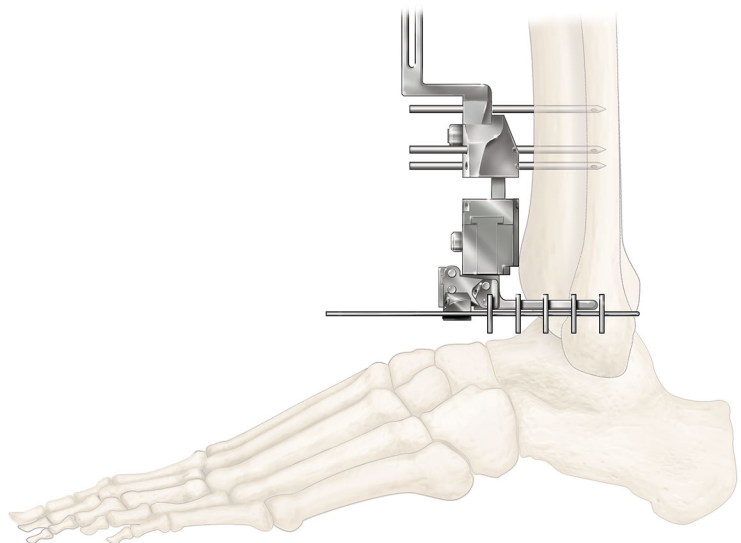
LatCutBloc.tif



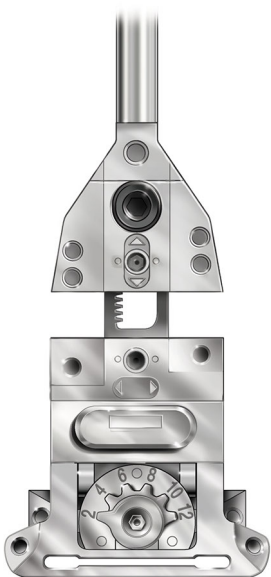
LatvCoupledBloc.tif



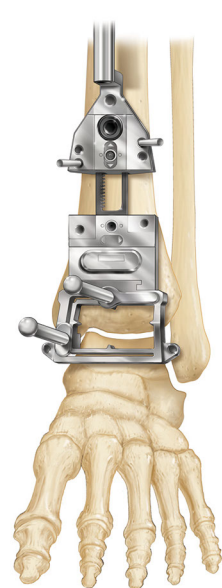
LatViewAngel8mm.tif



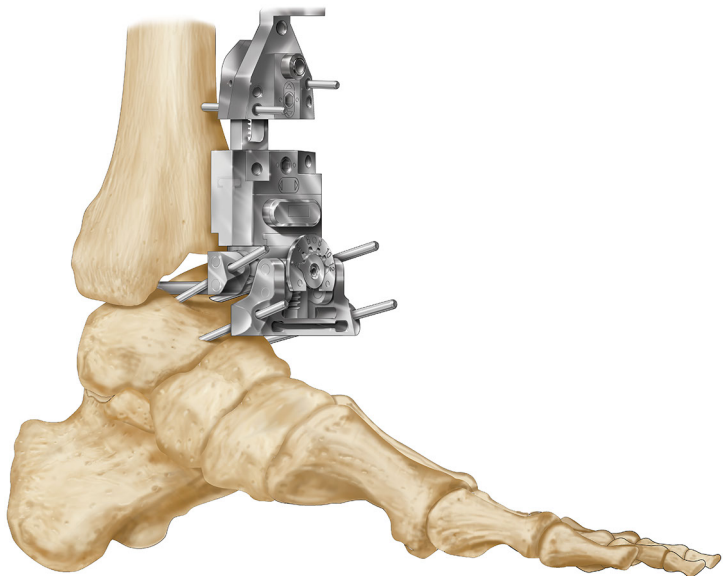
LatViewwAngel.tif



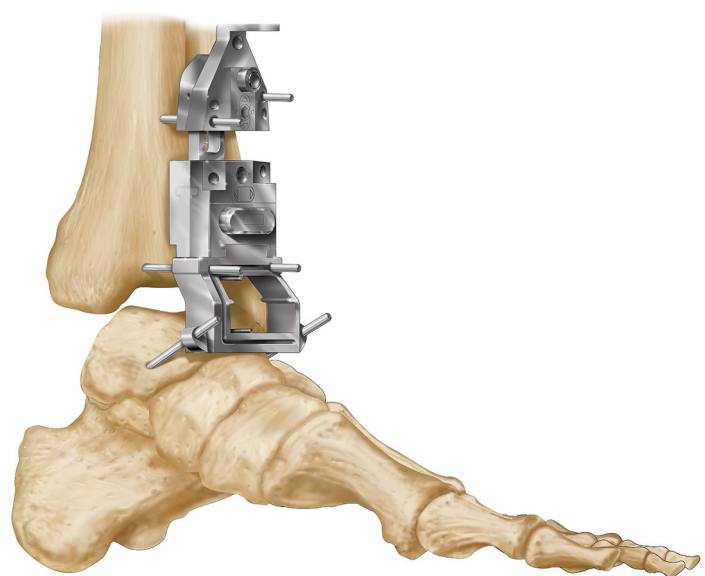
MediaLatAdj.tif



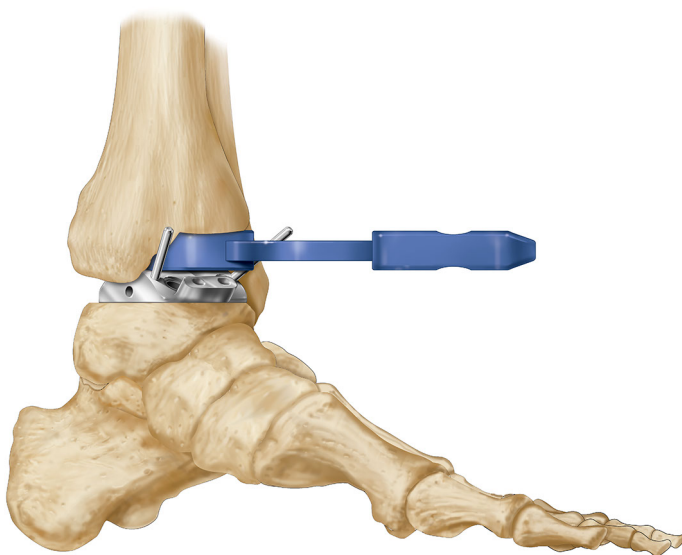
MedialShimFlag.tif



PinAdj.tif



PinnedCoupled.tif



PinTrial.tif



PostCuts.tif



TalarTrialGapChek.tif



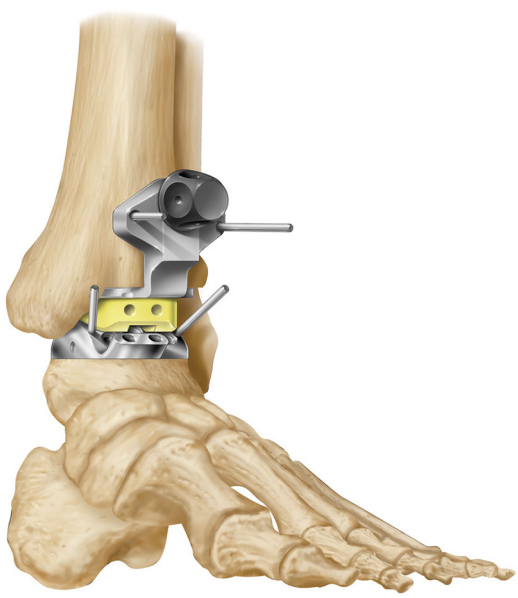
TalarTrialScissor.tif



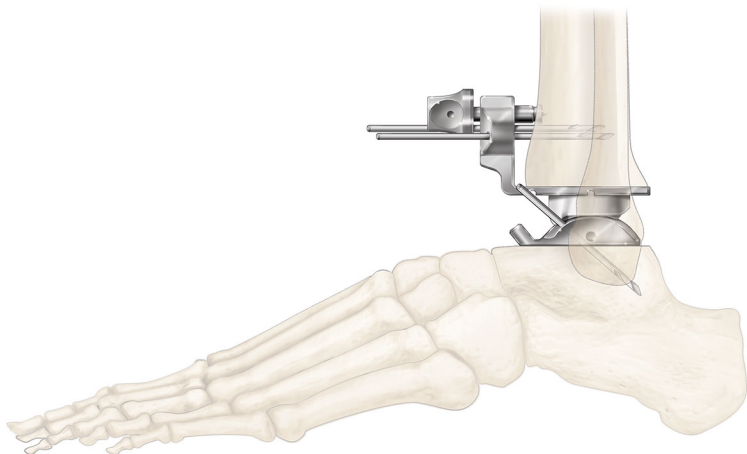
TalusDrill.tif



TibPlatProtec.tif



trialAssemb.tif



TrialAssembLat.tif



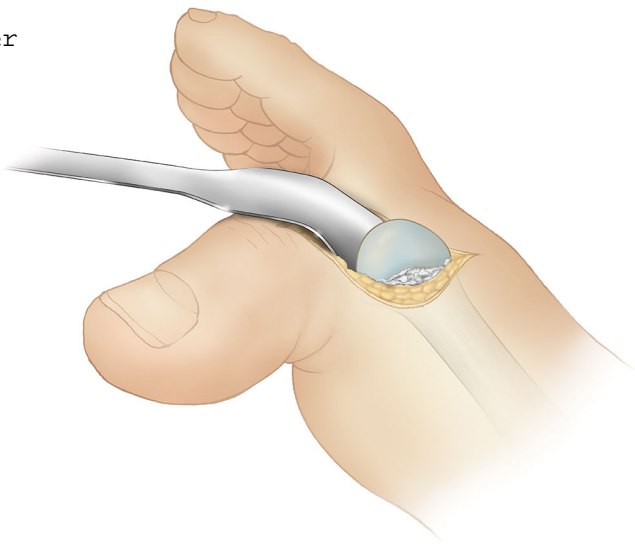
TruLatTrialPos.tif



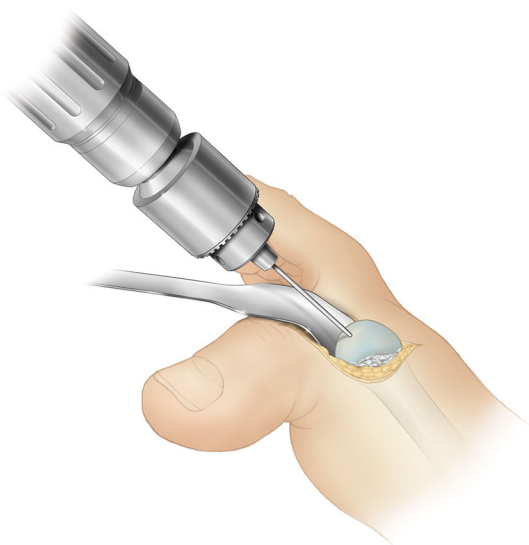
MobileBearing.tif
20190429



mtpfus00.tif



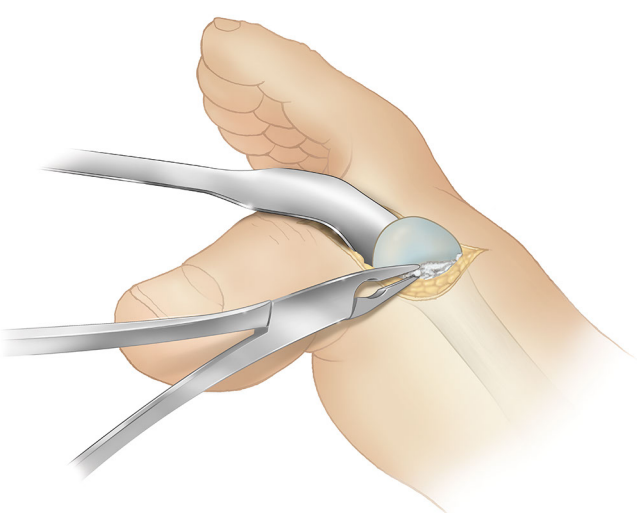
mtpfus01.tif



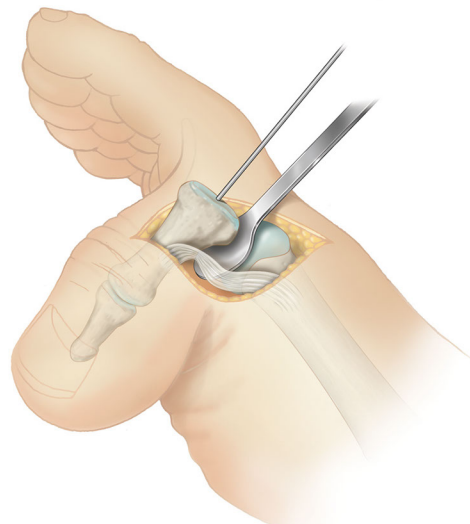
mtpfus02.tif



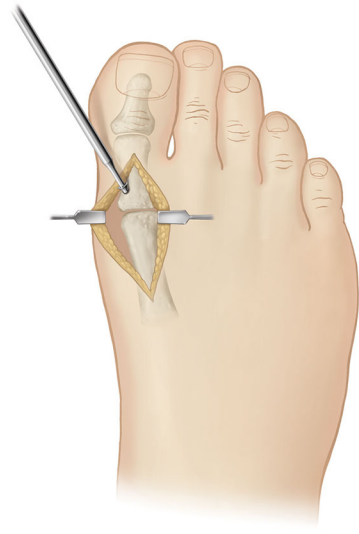
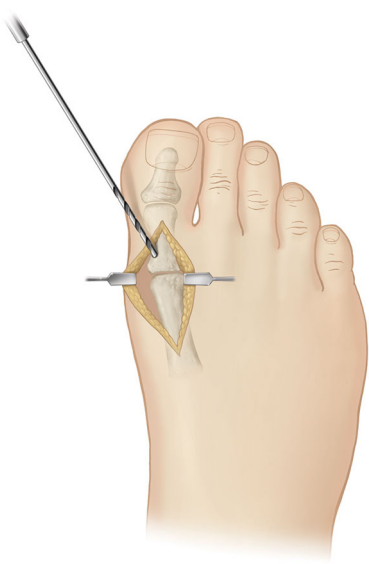
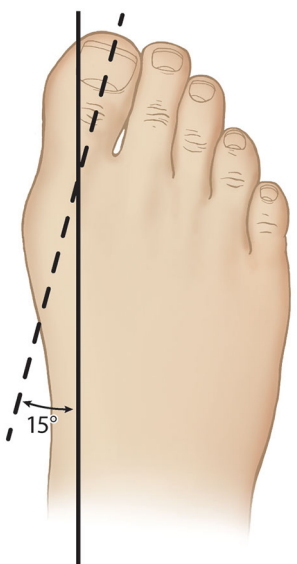
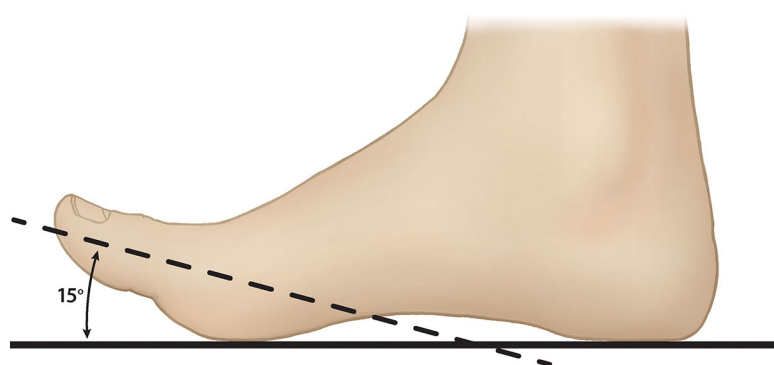
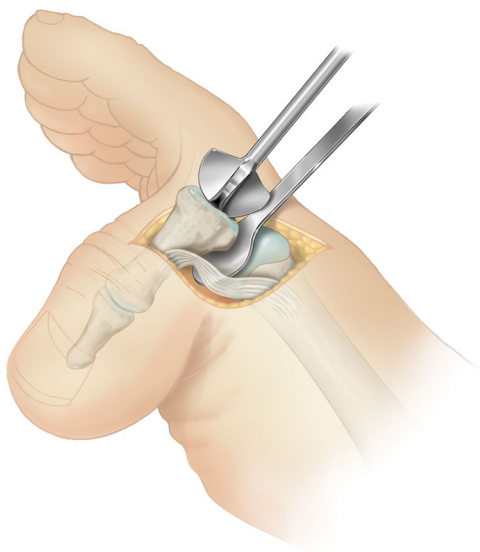
mtpfus03.tif



mtpfus04.tif

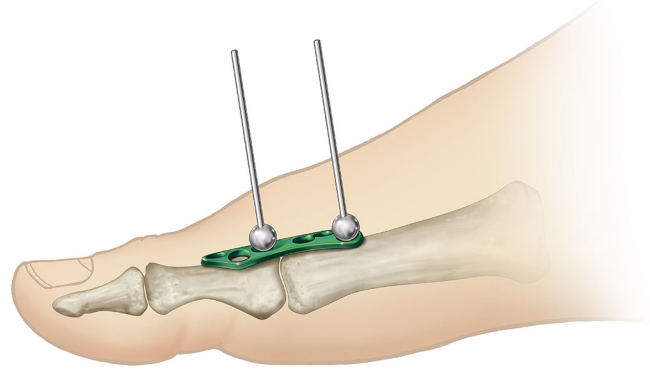


mtpfus05.tif

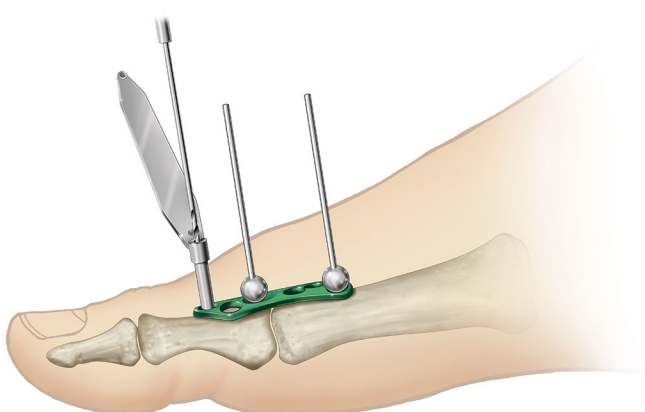




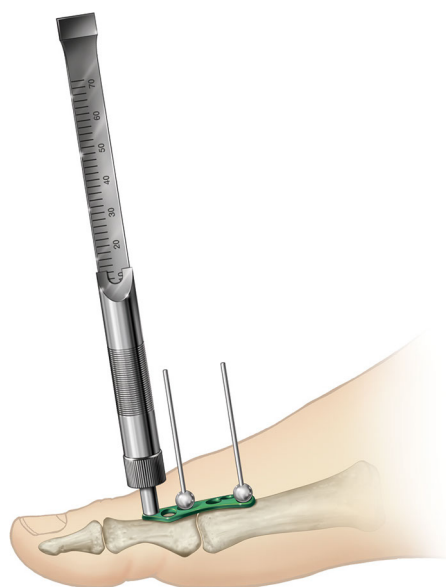
mtpfus10.tif



mtpfus11.tif



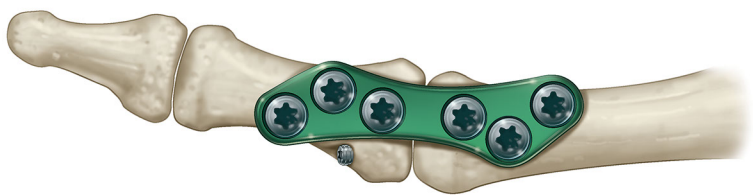
mtpfus12.tif



mtpfus13.tif



mtpfus14.tif



mtpfus15.tif



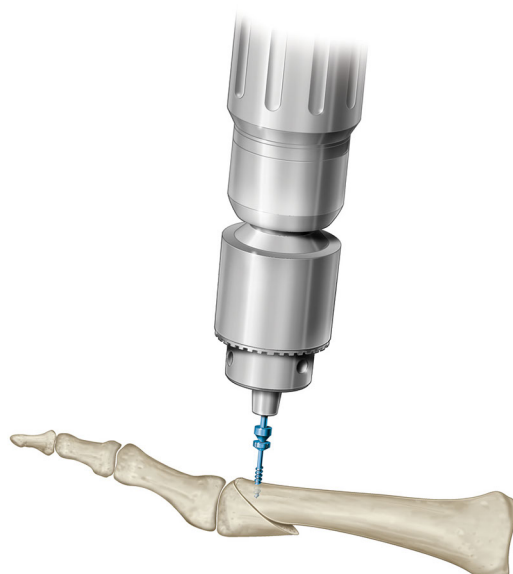
mtpfus16A.tif



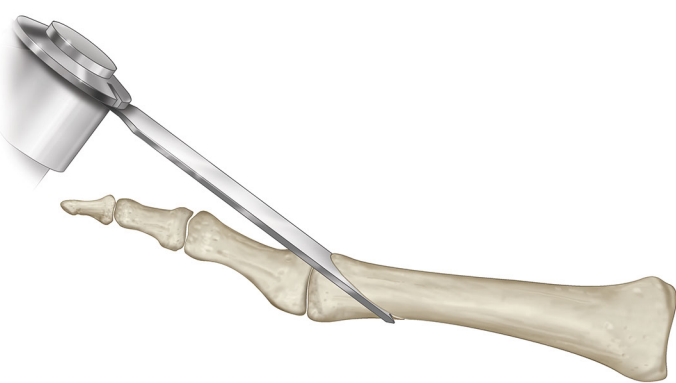
mtpfus16C.tif



mtpfus16D.tif



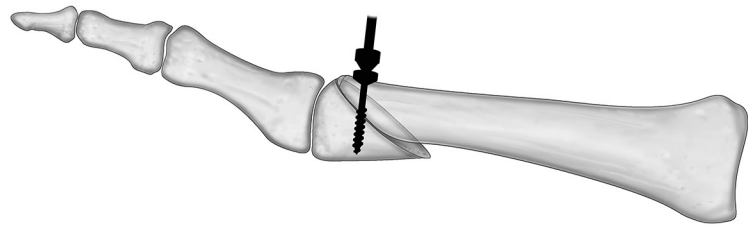
mtpfus17.tif



mtpfus17A.tif



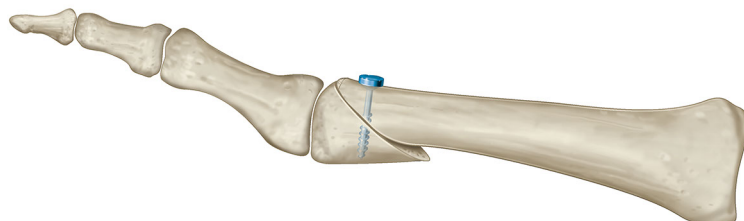
mtpfus17B.tif



mtpfus17C.tif

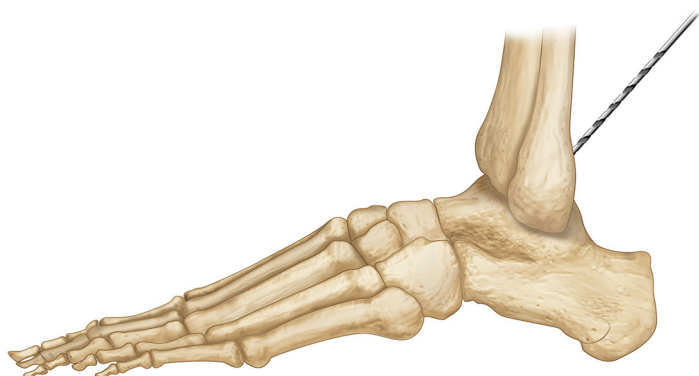


mtpfus17D.tif

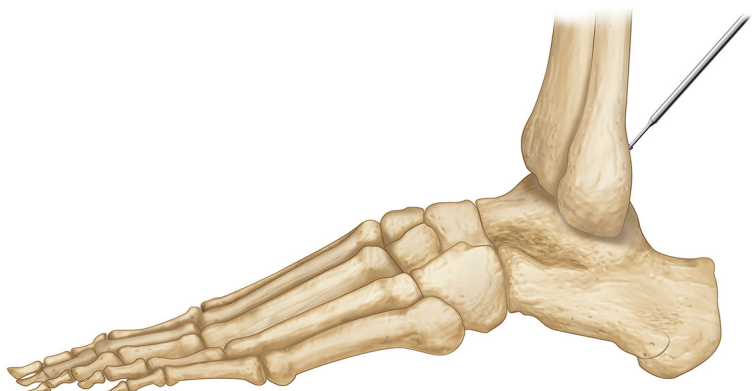


mtpfus17E.tif

2019 11 04 ankfus Medhut Almadi

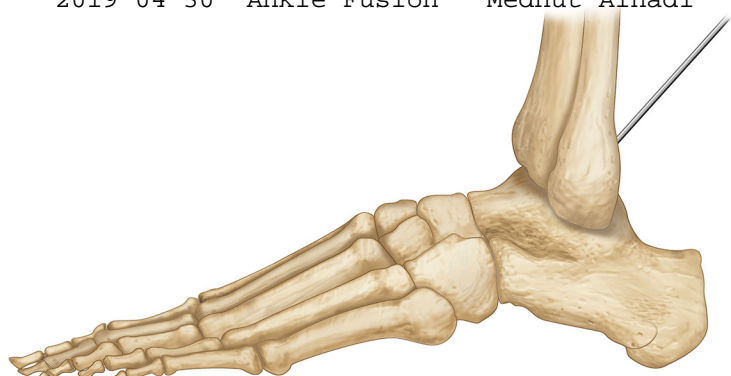


ankfusA01.tif

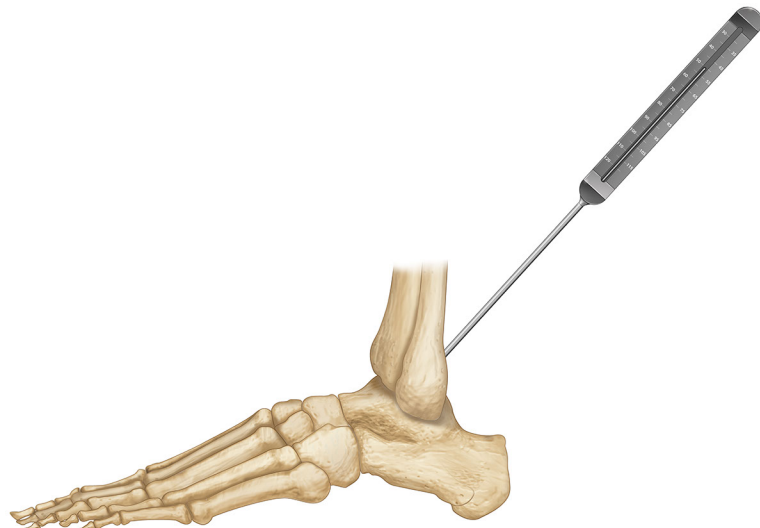


ankfusA02.tif

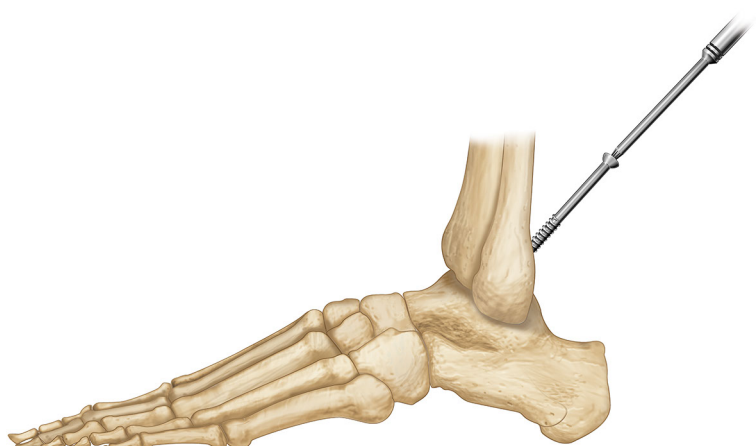
2019 04 30 Ankle Fusion Medhut Alnadi



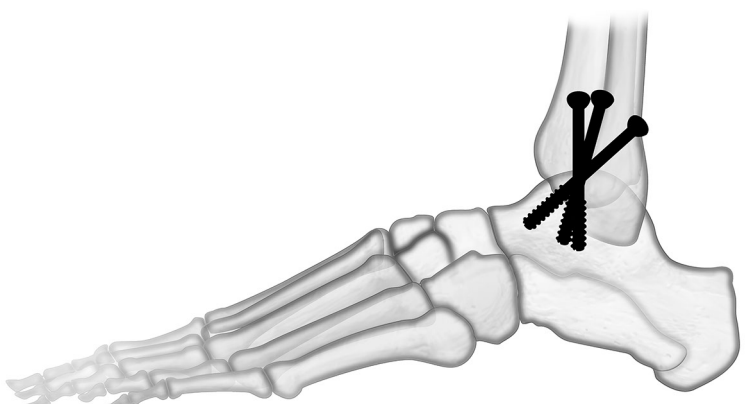
ankfus01.tif



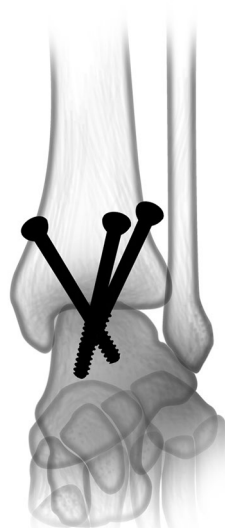
ankfus02.tif



ankfus03.tif

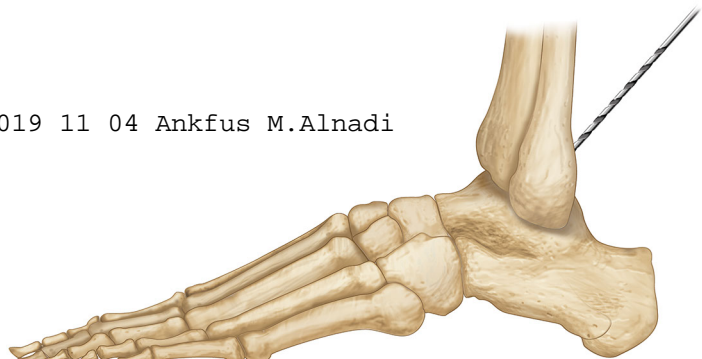


ankfus04.tif



ankfus05.tif

2019 11 04 Ankfus M.Alnadi



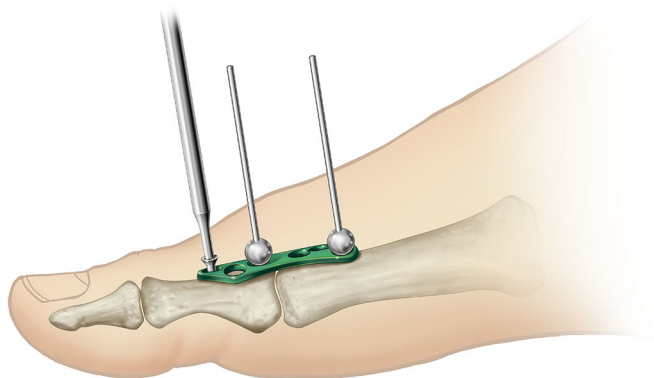
ankfusA01.tif



ankfusA02.tif



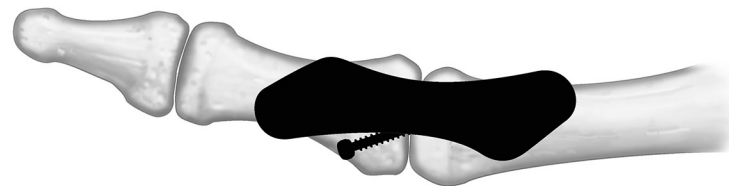
mtpfus09rev2.tif



mtpfus12A.tif



mtpfus15A.tif



mtpfus15B.tif



mtpfus16E.tif



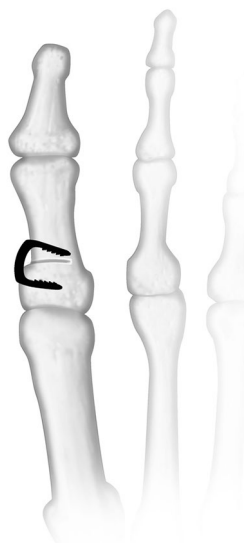
mtpfus16F.tif



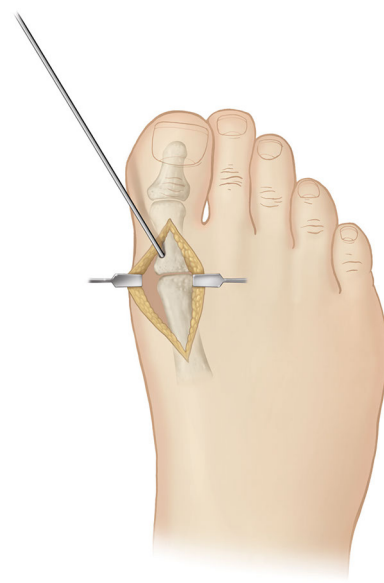
mtpfus16H.tif



mtpfus16J.tif



mtpfus16K.tif



mtpfus18A.tif



mtpfus18C.tif